



後方乱気流の計測融合シミュレーション (JAXA-ENRI-東北大共同研究)

大林 茂, 三坂 孝志, 小笠原 健
(東北大学・流体科学研究所)

平成20年2月26日



発表内容

仙台空港における後方乱気流のライダ計測

- 後方乱気流の移流・残留に周辺大気風が及ぼす影響

ライダ計測を融合した翼端渦のLES

- ライダ計測融合手法について
- 翼端渦の再現

背景 - 後方乱気流 -

- 主に翼端渦が原因となって生じる乱気流
- 空港の離発着間隔を決める
(順天候時大型機2分が基準)

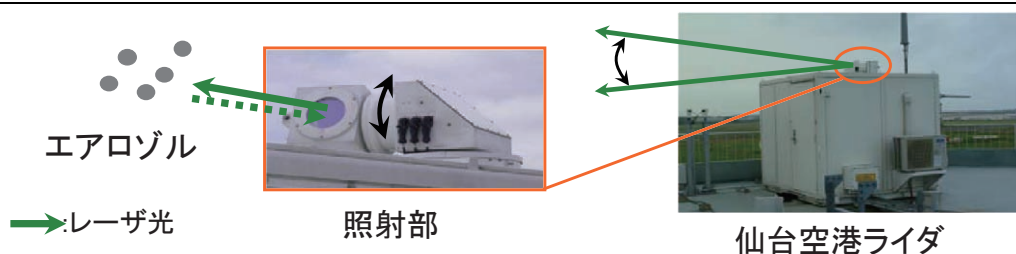


離発着間隔見直しの必要性

- 効率的な空港トラフィックコントロール
- Airbus A380に代表される大型航空機への対応



背景 - ドップラーライダ -



- 後方乱気流のライダ計測(パルス方式)の特徴

- ◎ 広範囲の計測が可能
 - 後方乱気流を空間・時間発展的に捉えられる
- ▲ 距離分解能が低い
 - 正確な後方乱気流の構造を捉えることが困難



ライダの計測精度の検証が必要

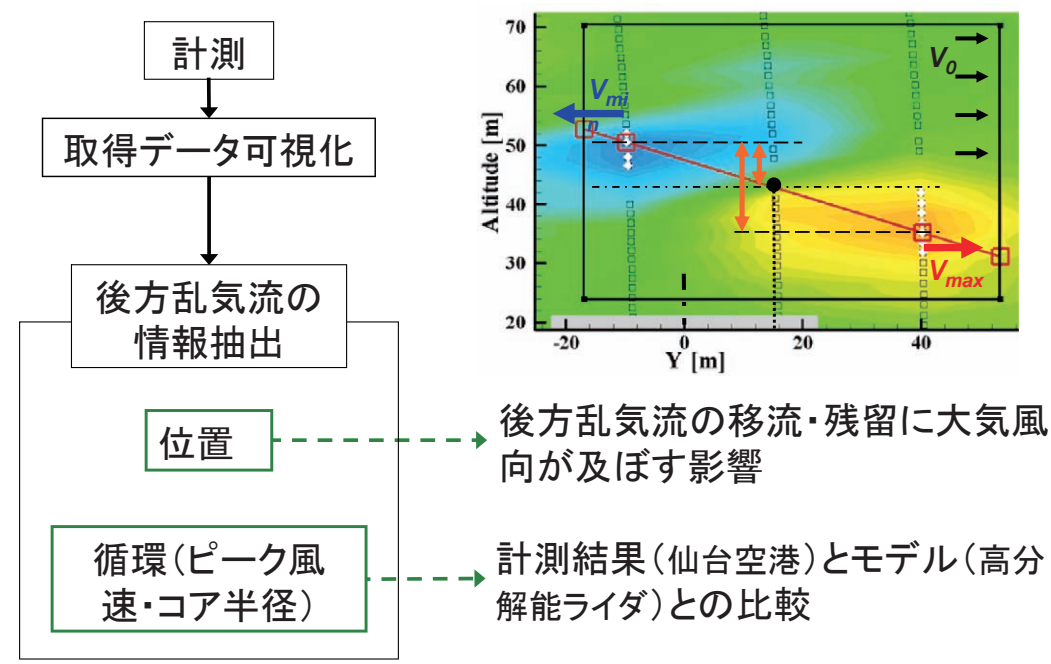
前半の研究目的 - 後方乱気流のライダ計測-

後方乱気流のライダ計測

- 後方乱気流の情報(位置・ピーク風速・コア半径)の抽出
 - 周辺大気状態が後方乱気流の移流・残留に及ぼす影響
 - ライダの計測精度の検証



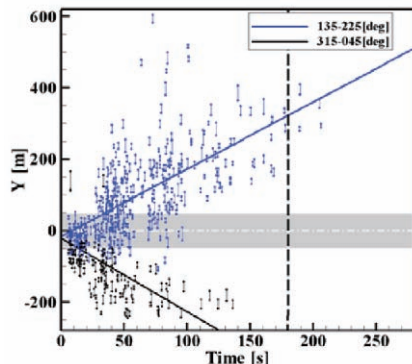
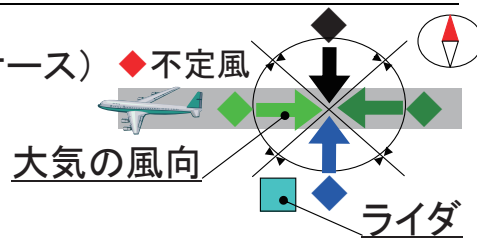
検討内容



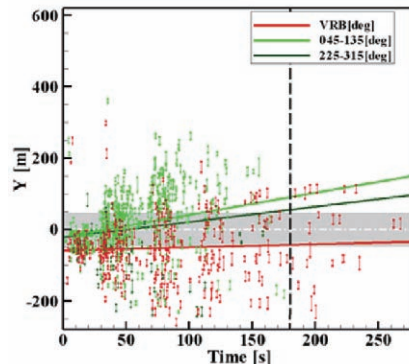
周辺大気の影響 - 後方乱気流の移流・残留 -

- 対象(機種:B767-300、計測数:162ケース)
- 計測期間 : 2006年4月~12月

--- 管制間隔:3分
■ 滑走路幅:約45 [m]



渦中心の軌跡:横風の分類結果

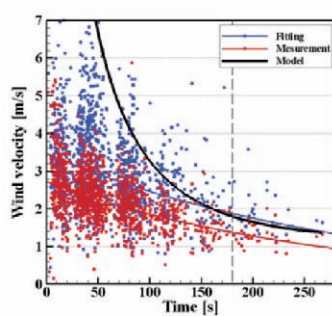


渦中心の軌跡:向風・追風・不定風の分類結果

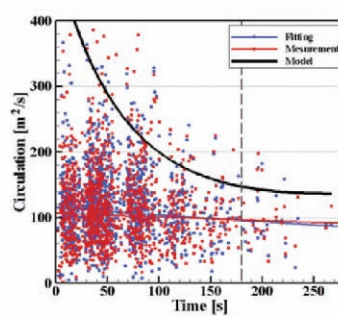
ライダ計測精度の検証(既存モデルとの比較)

- 対象(機種:B767-300、計測数:162ケース)
- 計測期間 : 2006年4月~12月

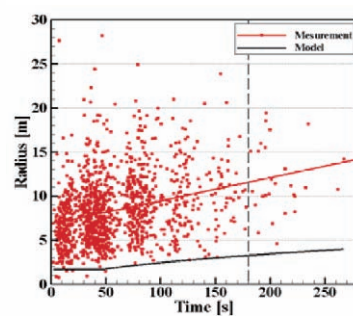
--- 管制間隔:3分



ピーク風速-時間



循環-時間



コア半径-時間

後半の研究目的 - ライダ計測融合シミュレーション -

後方乱気流のLarge eddy simulation

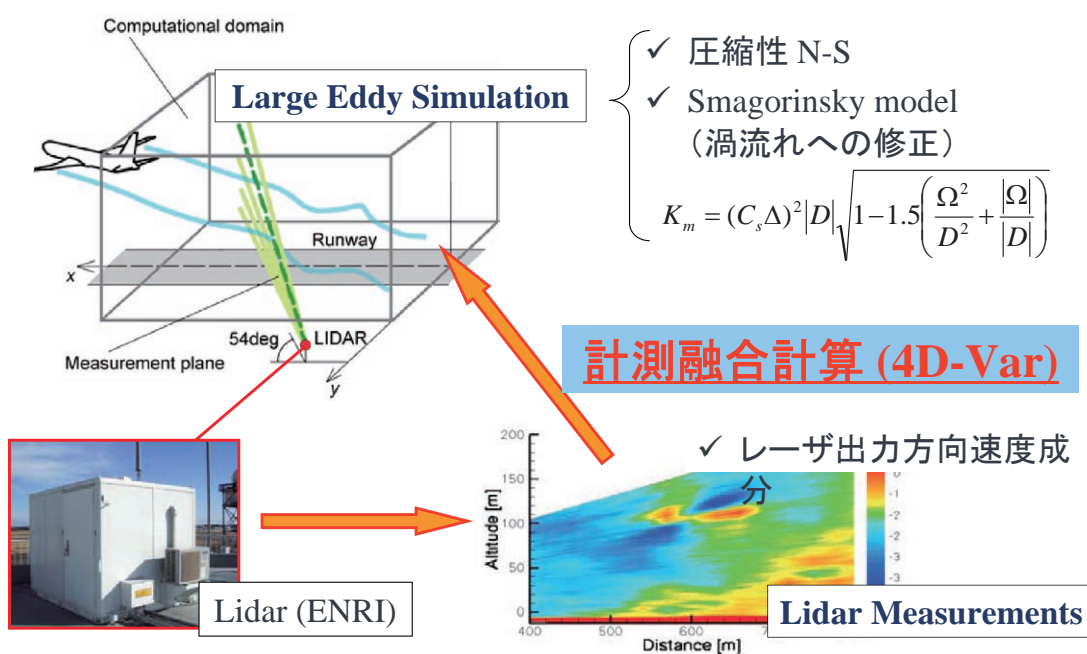
- 涡対の時空間挙動の解析
- 大気境界層、大気の一様乱流成分(Karman Spectrumなど)を考慮
- 実際の大気条件の考慮は困難



目的: ライダ計測を融合した後方乱気流解析手法の開発

- シミュレーションでライダ計測の解像度を補足
- シミュレーションで実際の大気条件を考慮
- 気象におけるデータ同化手法の導入: 4D-Var, Bogus Vortex

ライダ計測融合手法 - 概要 -



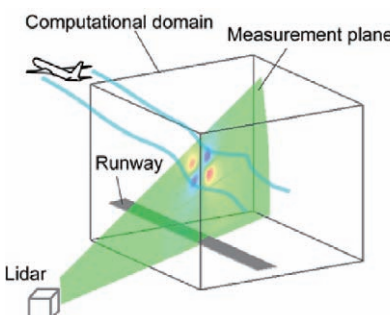
計測融合計算法:4次元変分法

Four-dimensional variational method (4D-Var)

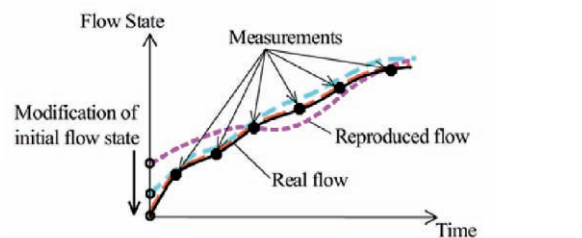
計測と計算の差: 目的関数 → 最小化(ジョイント法)

設計変数: 初期条件

$$J(\mathbf{Q}_0) = \frac{1}{2} \sum_{i=0}^N (\mathbf{H}_i(\mathbf{Q}_i) - \mathbf{Y}_i)^T R_i^{-1} (\mathbf{H}_i(\mathbf{Q}_i) - \mathbf{Y}_i)$$



N : 時間ステップ
 \mathbf{Q}_i : 計算変数
 \mathbf{Y}_i : 計測変数
 \mathbf{H}_i : 変換行列
 R_i : 計測誤差共分散行列



Takashi Misaka, Tohoku University

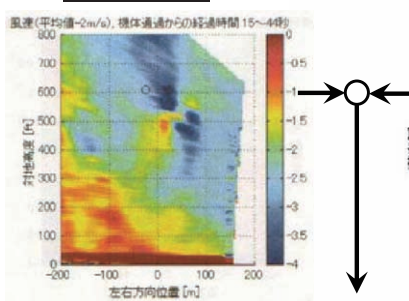
10

ライダ計測融合手法 - 4D-Var -

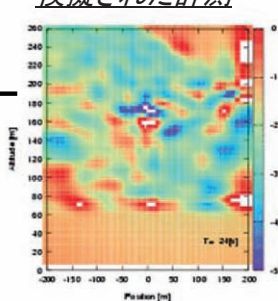
※絵は2次元計算例

- 30 [m]ごと平均
- レーザ出力方向成分

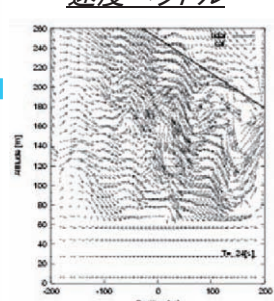
実際の計測



模擬された計測



速度ベクトル



- 3次元計算において、ライダ計測面付近のみ計測と一致
- ライダの面データのみで3次元の渦対を再現するのは困難
→Bogus Vortex Technique



11

ボーガス渦法

気象の台風シミュレーションで用いられる手法
後方乱気流では初期条件に渦対の存在を仮定



初期条件に付加項

Bogus Vortex Technique

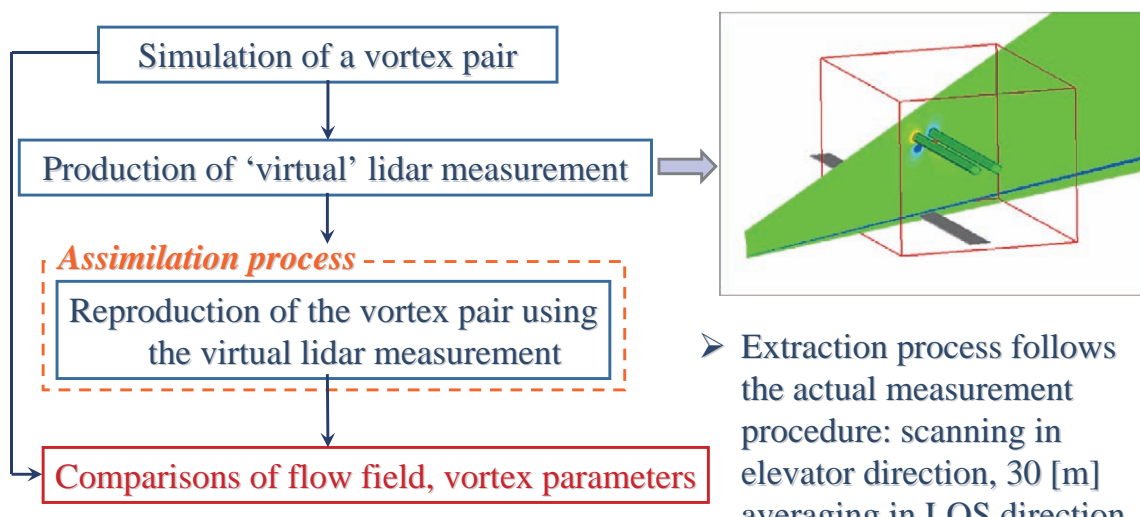
$$J_t(\mathbf{Q}_0) = J_l(\mathbf{Q}_0) + \frac{1}{2} [\mathbf{Q}_0 - F_v(\mathbf{P}_v)]^T B^{-1} [\mathbf{Q}_0 - F_v(\mathbf{P}_v)]$$

- 渦モデル $F_v(\mathbf{P}_v)$ 込みで初期条件最適化



Assimilation Experiment for Validation

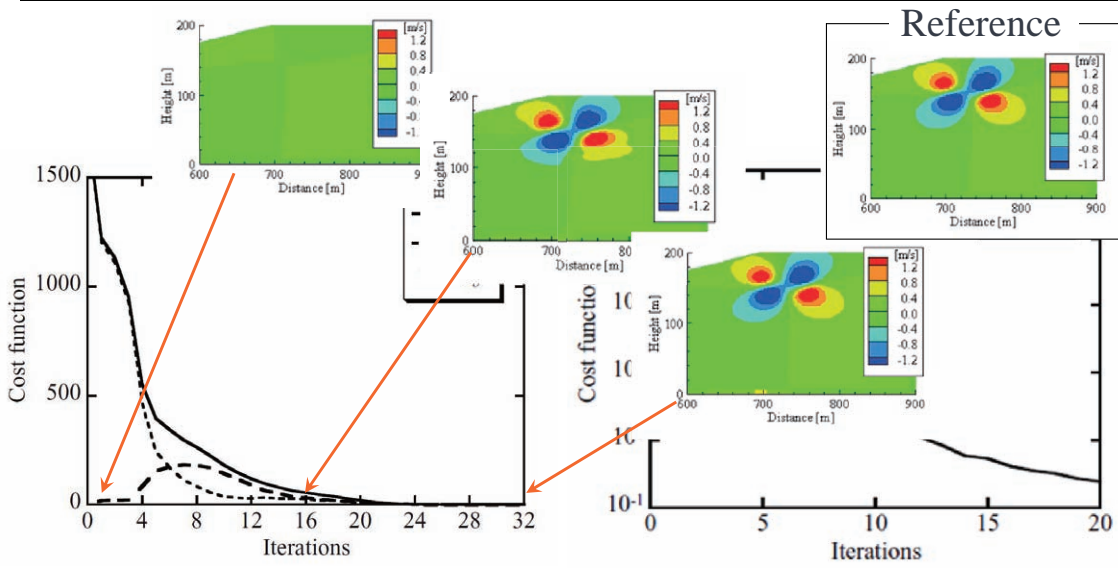
- Flow chart of assimilation experiment



- Extraction process follows the actual measurement procedure: scanning in elevator direction, 30 [m] averaging in LOS direction



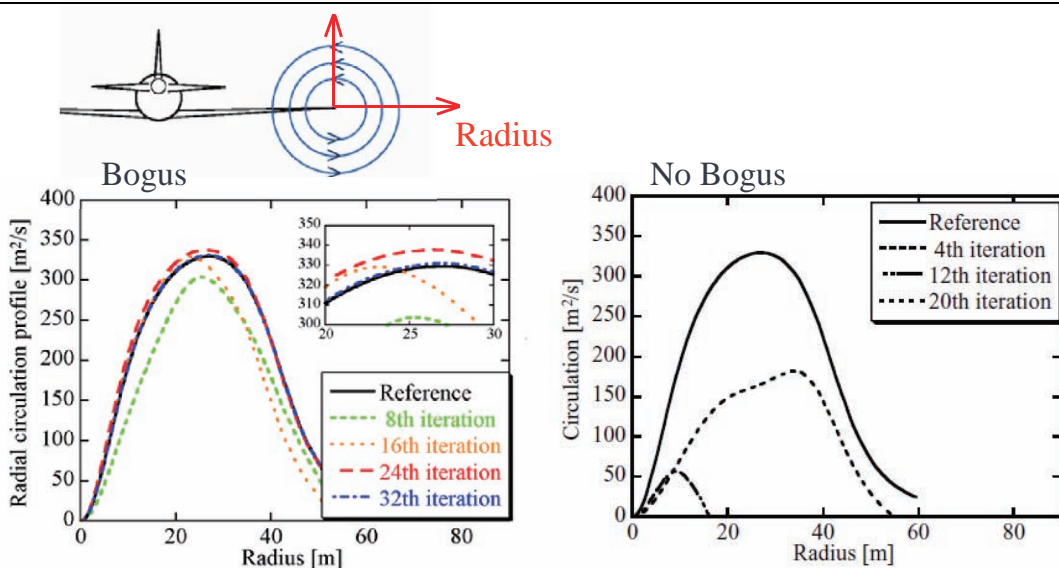
Effect of Bogus Vortex (1) – Cost Function –



➤ Reproducibility of velocity distribution on measurement plane is confirmed



Effect of Bogus Vortex (2) – Radial Circulation Profile –

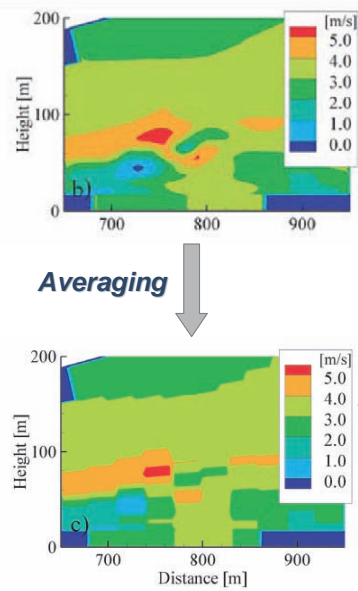


➤ Radial profile of circulation was accurately reproduced by 4D-Var with Bogus Vortex Technique

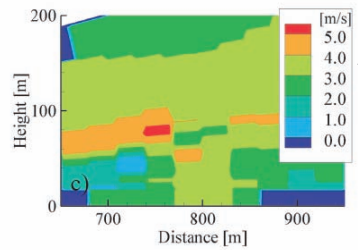


Results using Actual Lidar Measurements

Reproduced velocity distribution

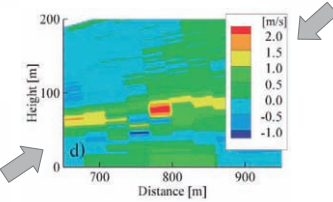
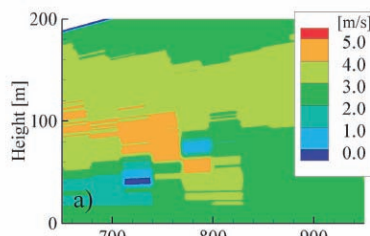


Averaging



Difference

Lidar measurements

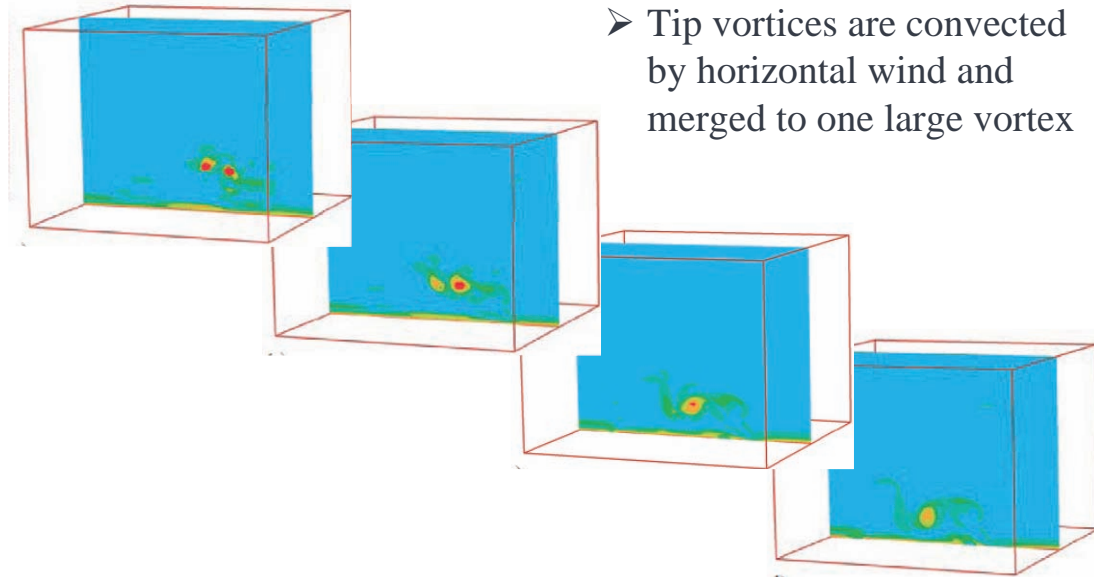


- Agreement of velocity distribution on measurement plane is confirmed



Results using Actual Lidar Data (2)

Vorticity distribution



まとめ

仙台空港における後方乱気流のライダ計測

- 後方乱気流の移流・残留に周辺大気風が及ぼす影響を実測
- 分解能に難

ライダ計測を融合した翼端渦のLES

- 気象のデータ同化手法: 4D-Var + Bogus vortex
- 翼端渦を再現

今後の課題

- 渦の自動検出・画像復元技術によるデータ補正
- 気象条件が後方乱気流の挙動に及ぼす影響
 - ✓ 大気の乱流成分・温度分布など

